

# ИССЛЕДОВАНИЕ ПРОСТРАНСТВЕННО-ВРЕМЕННОЙ СТРУКТУРЫ ПОЛЯ ЭЛЕКТРОМАГНИТНОГО ИМПУЛЬСА С КРУТЫМ ФРОНТОМ ПРИ РАСПРОСТРАНЕНИИ В ВАКУУМЕ

А.В. Гладких, С.И. Харитонов

Институт систем обработки изображений РАН  
Самарский государственный аэрокосмический университет

## Введение

Целью настоящей работы является исследование эволюции пространственно-временной структуры поля импульса с крутым передним и задним фронтом при распространении в вакууме. Обращено внимание на процессы установления и спада поля импульса. Из-за специфики исследуемых процессов (быстрота изменения во времени) не применим традиционно используемый в оптике метод медленно меняющихся амплитуд [1]. Исследование проводилось на основе решения дифракционного интеграла Френеля для функции частотного спектра первоначального импульса [2]. Представленный в данной работе метод и полученные результаты справедливы для импульсов, длительностью не меньше двадцати периодов.

## Основные уравнения

В данной работе рассматривается распространение импульса в вакууме. Использовалась следующая нормировка: скорость света  $c$  и период несущего колебания  $T_0$  приравнялись к единице. Все временные переменные выражались через количество периодов, а пространственные переменные через количество длин волн несущего колебания.

Зададим поле во входной плоскости в виде  $E(x, y, z = 0, t) = \varphi(x, y)\gamma(t)$ . Эволюция пространственно-временной структуры поля импульса в скалярном приближении при распространении в вакууме описывается уравнением [1, 3, 4]

$$E(x, y, z, t) = \int_0^{\infty} \frac{-i\omega}{2\pi cz} g(\omega) \exp\left(i\omega \frac{z}{c} - i\omega t\right) \times \\ \times \int_{-\infty}^{\infty} \int_{-\infty}^{\infty} \varphi(u, v) \exp\left\{i \frac{\omega}{2cz} (u-x)^2 + \right. \\ \left. + (v-y)^2\right\} dudvd\omega \quad (1)$$

где  $g(\omega) = \frac{1}{2\pi} \int_{-\infty}^{\infty} \gamma(t) \exp(i\omega t) dt$  - частотный спектр входного импульса. При этом не накладывается никаких ограничений на исходное пространственно-временное распределение поля.

Рассмотрим импульс с ярко выраженными передним и задним фронтами

$$\gamma(t) = \begin{cases} \cos(\varphi_0 - \omega_0 t); & |t| \leq T \\ 0; & |t| > T \end{cases} \quad (2)$$

где  $\omega_0 = 2\pi$  - несущая частота;  $\varphi_0 = \pi/2$  для обеспечения условия  $\gamma(\pm T) = 0$ ;  $2T$  - длительность импульса.

Частотный спектр импульса (2)

$$g(\omega) = \frac{1}{2} [\exp(i\varphi_0) \tilde{g}(\omega, \omega_0) + \exp(-i\varphi_0) \tilde{g}(\omega, -\omega_0)] \quad (3)$$

где

$$\tilde{g}(\omega, \omega_0) = \frac{1}{\pi} \frac{\text{Sin}(\omega - \omega_0)T}{\omega - \omega_0} \quad (4)$$

Функция (3) удовлетворяет условию для частотного спектра реальных импульсов  $g(-\omega) = g^*(\omega)$  [3].

Для упрощения дальнейших выкладок проанализируем функцию (3) и способ ее использования в (1). Первое слагаемое в (3) существенно отлично от нуля при положительных значениях  $\omega$  ( $\omega_0 > 0$ ), в то время как второе при отрицательных  $\omega$ . При выполнении условия

$$\frac{\int_0^{\infty} |\tilde{g}(\omega, \omega_0)|^2 d\omega}{\int_{-\infty}^{\infty} |\tilde{g}(\omega, \omega_0)|^2 d\omega} \ll 1 \quad (5)$$

и учитывая, что интегрирование в (1) ведется только по  $\omega > 0$ , предлагается второе слагаемое в (3) приравнять к нулю. Условие (5) выполняется для  $T \geq 10$ . С учетом всего вышесказанного, рассмотрим временную зависимость первоначального импульса в виде

$$\tilde{\gamma}(t) = \begin{cases} \exp(i\varphi_0 - i\omega_0 t); & |t| \leq T \\ 0; & |t| > T \end{cases} \quad (2a)$$

Частотный спектр (2a) равен (4).

Т.к.  $\tilde{g}(\omega, \omega_0)$  в области отрицательных частот принимает значения мало отличные от нуля, то нижний предел интегрирования в (1) можно положить равным минус бесконечности. Подставляя (4) в (1) и интегрируя по  $d\omega$ , получаем интегральное представление для поля импульса

$$\begin{aligned}
E(x, y, z, t) &= \frac{1}{2\pi cz} \exp(i\varphi_0 + i\omega_0 t) \times \\
&\times \int_{-\infty}^{\infty} \int_{-\infty}^{\infty} \delta(\eta_1 + T) \varphi(u, v) dudv - \\
&- \frac{1}{2\pi cz} \exp(i\varphi_0 - i\omega_0 t) \times \\
&\times \int_{-\infty}^{\infty} \int_{-\infty}^{\infty} \delta(\eta_1 - T) \varphi(u, v) dudv - \\
&- \frac{\omega_0 i}{2\pi cz} \iint_{G(u, v)} \tilde{\gamma}(\eta_1) \varphi(u, v) dudv
\end{aligned} \tag{6}$$

$$\text{где } \eta_1 = t - \frac{z}{c} - \frac{(u-x)^2}{2cz} - \frac{(v-y)^2}{2cz}.$$

Первое и второе слагаемое в (6) описывают поле, создаваемое передним и задним фронтами первоначального импульса соответственно. При выполнении условия  $\text{Im}(\varphi(u, v)) = 0$ , т.е. для начального импульса с плоским волновым фронтом, учитывая, что  $\text{Re}[\tilde{\gamma}(\pm T)] = 0$ , вклад первого и второго слагаемого в поле равен нулю. На область интегрирования третьего слагаемого наложены ограничения из условия  $|\eta_1| \leq T$ , возникающего при задании временного профиля первоначального импульса (2а).

Из полученного интегрального представления поля следует, что временная структура импульса влияет на эволюцию пространственно-временного распределения поля при его распространении.

Рассмотрим импульс с гауссовским распределением в поперечном сечении

$$\varphi(u, v) = \exp\left(-\frac{u^2 + v^2}{\sigma^2}\right).$$

Из (6) получаем следующие выражения для поля:

$$\eta < -T$$

$$E(x, y, z, t) \equiv 0 - \text{поле не дошло}$$

$$\text{до этой точки} \tag{7.1}$$

$$|\eta| < T$$

$$\begin{aligned}
E(x, y, z, t) &= -\frac{iA_0\omega_0}{2zc} \times \\
&\times \exp\left(i\varphi_0 - i\omega_0\eta - \frac{r^2}{\sigma^2}\right) \times \\
&\times \int_0^{\rho_1^2} \exp\left(-\frac{\rho^2}{a^2}\right) I_0\left(2\frac{r\rho}{\sigma^2}\right) d\rho^2
\end{aligned} \tag{7.2}$$

$$\eta > T$$

$$\begin{aligned}
E(x, y, z, t) &= -\frac{iA_0\omega_0}{2zc} \times \\
&\times \exp\left(i\varphi_0 - i\omega_0\eta - \frac{r^2}{\sigma^2}\right) \times \\
&\times \int_{\rho_2^2}^{\rho_1^2} \exp\left(-\frac{\rho^2}{a^2}\right) I_0\left(2\frac{r\rho}{\sigma^2}\right) d\rho^2
\end{aligned} \tag{7.3}$$

где

$\rho_1 = \sqrt{2zc(\eta + T)}$  - радиус окружности во входной плоскости с центром в точке  $(u = x, v = y)$ , с которой начальное поле уже влияет на поле в точке наблюдения  $(x, y, z, t)$ ;

$\rho_2 = \sqrt{2zc(\eta - T)}$  - радиус окружности во входной плоскости, с которой начальное поле уже не влияет на поле в точке наблюдения;

$\eta = t - \frac{z}{c}$  - "бегущее время";

$I_0(\dots)$  - модифицированная функция Бесселя [5];

$$r = \sqrt{x^2 + y^2}, \quad \frac{1}{a^2(z)} = \frac{1}{\sigma^2} - \frac{i\omega_0}{2zc}.$$

Формулы (7) дают окончательное выражение поля импульса вида (2а) при  $z > 0$  для любого момента времени.

В случае  $\sigma \rightarrow \infty$  (что соответствует бесконечному в поперечном сечении импульсу) из (7) получаем

$$\lim_{\sigma \rightarrow \infty} E(x, y, z, t) = A_0 \gamma(\eta)$$

- т.е. импульс распространяется без изменения.

При  $\rho_1 \rightarrow \infty$ , т.е. когда поле в исследуемой точке формируется всем первоначальным импульсом, получаем обычный гауссов пучок в параболическом приближении [1], что и следовало ожидать

$$E_c(x, y, z, t) = \frac{\sigma^2}{\rho^2(z)} \exp\left(-\frac{r^2}{\rho^2(z)}\right) \tilde{\gamma}(\eta) \tag{8}$$

$$\text{где } \rho(z) = \sigma \sqrt{1 + i \frac{2z}{\kappa_0 \sigma^2}}.$$

Поле на оси определяется выражениями

$$|\eta| < T$$

$$\begin{aligned}
E(x, y, z, t) &= -\frac{iA_0\omega_0}{2zc} a^2(z) \times \\
&\times \exp(i\varphi_0 - i\omega_0\eta) \left[ 1 - \exp\left(-\frac{\rho_1^2}{a^2}\right) \right]
\end{aligned} \tag{9.1}$$

$$\eta > T$$

$$E(x, y, z, t) = -\frac{iA_0\omega_0}{2zc} a^2(z) \times \exp(i\varphi_0 - i\omega_0\eta) \left[ \exp\left(-\frac{\rho_2^2}{a^2}\right) - \exp\left(-\frac{\rho_1^2}{a^2}\right) \right] \quad (9.2)$$

Время нарастания амплитуды поля на оси ( и время спада ) равно

$$\Delta\eta \approx \frac{\sigma^2}{2zc} \quad (10)$$

Видно, что длительность процесса установления и спада амплитуды поля обратно пропорционально расстоянию до входной плоскости. Элементарные оценки показывают, что эти процессы могут занимать от нескольких периодов до долей периода.

Перед обсуждением результатов моделирования следует сделать замечание о величинах, которые следует рассматривать в нашем случае.

При стандартном рассмотрении поля в скалярном приближении его задают в виде  $E = A \exp(i\varphi)$ . Плотность энергии электромагнитного поля  $Q$  [6], величина, регистрируемая приборами, определяется уравнением

$$Q = \frac{1}{2} \left[ \frac{1}{c^2} \left( \frac{\partial \tilde{E}}{\partial t} \right)^2 + (\nabla \tilde{E})^2 \right] \quad (11)$$

где  $\tilde{E} = \text{Re}(E)$ ,  $\nabla = \frac{\partial}{\partial z} + \frac{\partial}{\partial r}$  - для полей с цилиндрической симметрией. Получаем, что

$$\tilde{E}_t = A_t \text{Cos}(\varphi) + A\varphi_t \text{Cos}(\varphi + \pi/2) \quad (12.1)$$

$$\tilde{E}_z = A_z \text{Cos}(\varphi) + A\varphi_z \text{Cos}(\varphi + \pi/2) \quad (12.2)$$

$$\tilde{E}_r = A_r \text{Cos}(\varphi) + A\varphi_r \text{Cos}(\varphi + \pi/2) \quad (12.3)$$

где  $\varphi \sim \omega t - kz$ . Учитывая малость длин волн для электромагнитного спектра, первыми слагаемыми в первых двух уравнениях пренебрегают по сравнению со вторым, что эквивалентно применению метода медленно меняющихся амплитуд.

Значение слагаемых третьего уравнения так же малы по сравнению с оставленными членами. Учитывая, что среднее значение  $\text{Cos}^2(\varphi + \pi/2)$  за период равно 0.5, получаем - плотность энергии электромагнитного поля для длинных импульсов пропорциональна  $A^2$  или  $|E|^2$ .

В случае же переходных процессов метод медленно меняющихся амплитуд не применим. Для данных процессов следует рассматривать  $|\text{Re}(E)|$ , т.е. действительное значение поля.

При помощи полученных уравнений (7) исследуем эволюцию пространственно-временной структуры импульса со следующими параметрами:  $T = 10$ ,  $a_0 = 10^3$ .

На рисунках 1-3 представлены распределение действительной части и амплитуды поля рассчитанного по формуле (7) для различных расстояний от входной плоскости. Видно, что в пространственно-временном распределении амплитуды поля наблюдаются ярко выраженные процессы установления и спада, их длительность оценивается формулой (10). На переднем фронте наблюдается всплеск амплитуды, который уменьшается по мере удаления от входной плоскости. В ходе выхода амплитуды поля на стационарное значение, она претерпевает осцилляции с частотой  $\omega_0$ . На периферии пучка переходные процессы начинаются позже и длятся дольше, чем на оси. В пространственно-временном распределении  $|\text{Re}(E)|$  не наблюдается сколь либо заметных переходных процессов. Можно сделать вывод, что для физически наблюдаемых параметров электромагнитного импульса процесс установления и спада происходит мгновенно.

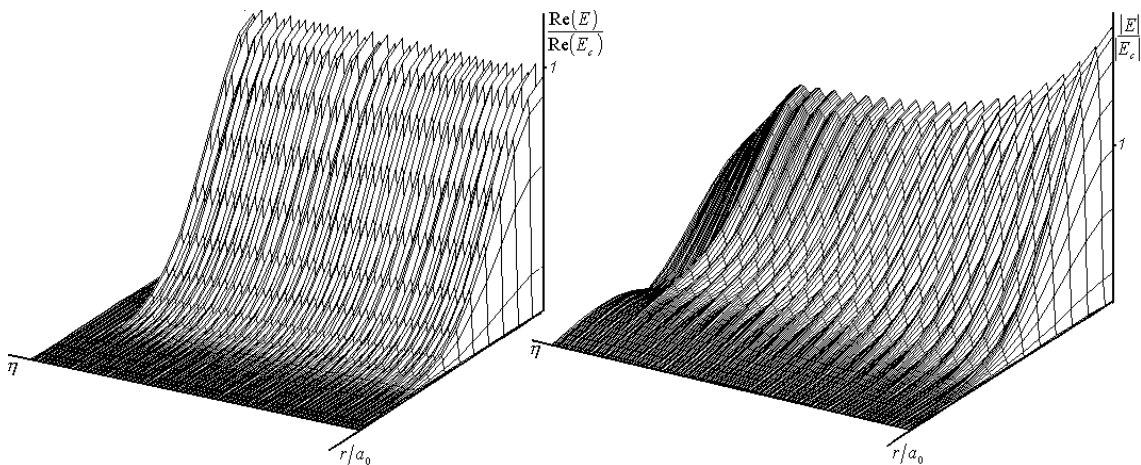


Рис.1. Радиальное распределение  $|\text{Re}(E)|$  и  $|E|$  для импульса (2a) на расстоянии  $z = 100 \cdot a_0$ .

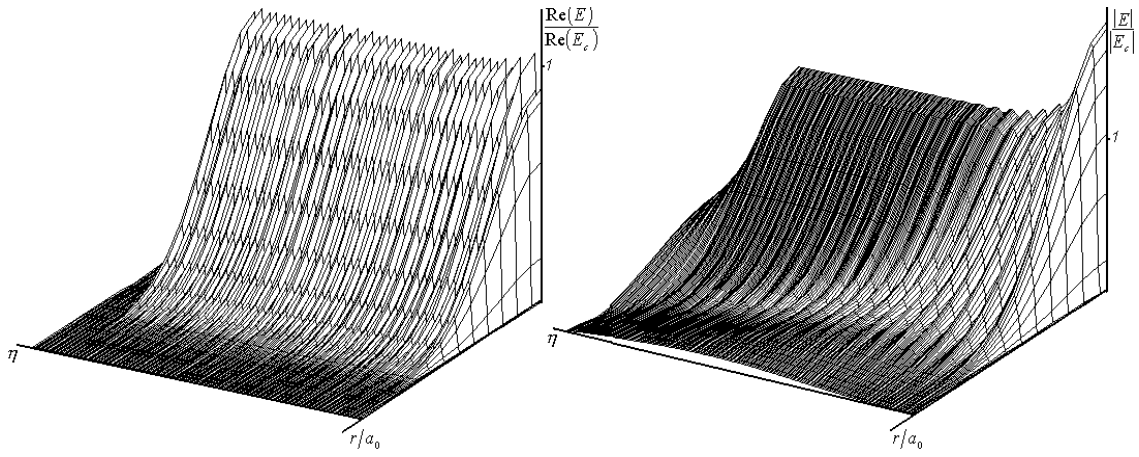


Рис.2. Радиальное распределение  $|\operatorname{Re}(E)|$  и  $|E|$  для импульса (2a) на расстоянии  $z = 300 \cdot a_0$ .

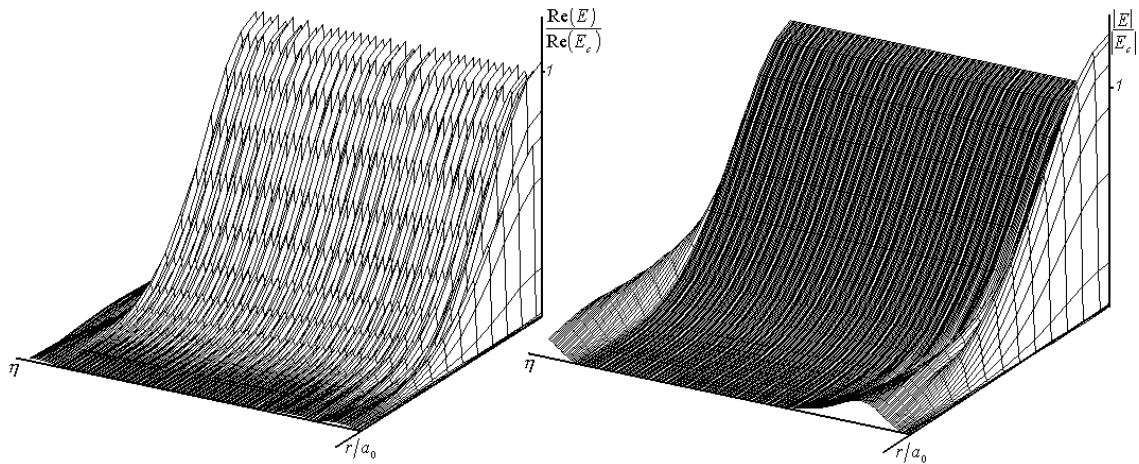


Рис.3. Радиальное распределение  $|\operatorname{Re}(E)|$  и  $|E|$  для импульса (2a) на расстоянии  $z = 1500 \cdot a_0$ .

### Вывод

Специальным подбором функции временного профиля с крутым фронтом удалось получить удобное интегральное представление для поля импульса с гауссовым распределением в поперечном сечении. Показано, что для поля импульсов, длительностью более двадцати периодов, отсутствуют ярко выраженные переходные процессы (амплитуда переходных процессов пренебрежимо мала по сравнению с абсолютным значением  $|\operatorname{Re}(E)|$ ).

Результаты, представленные в данной статье, являются справедливыми для любых волновых процессов описываемых волновым уравнением.

### Литература

1. Виноградова М.Б., Руденко О.В., Сухоруков А.П., Теория волн. - М.: Наука, 1979.
2. Гладких А.В., Уравнения для описания пространственно-временной эволюции предельно-коротких импульсов// Компьютерная оптика- 2000, т. 20.
3. Борн М., Вольф Э., Основы оптики. - М.: Наука, 1973.
4. Бельский А.М., Хапалюк А.П., О распространении пространственно-ограниченного импульса в изотропной среде// Журнал прикладной спектроскопии- 1972, т. 27, в. 1, стр. 150-155.
5. Справочник по специальным функциям М.: Наука, 1979.
6. Боголюбов Н.Н., Ширков Д.В., Квантовые поля. -М.: Наука, 1993.